

Formulas of the Length and Index for the Intersection of a Line and a Fixed Grid in Three-Dimensional Space

Xiaoyuan Zhang, Caifang Wang, Xudao Yin, Zhaoliang Xu

College of Arts and Sciences, Shanghai Maritime University, Shanghai
Email: cfwang@shmtu.edu.cn

Received: Jun. 23rd, 2017; accepted: Jul. 15th, 2017; published: Jul. 18th, 2017

Abstract

In this paper, we introduce the principle of imaging for X-ray CT and try to convert the reconstruction problem to a linear system $Ax=b$. We emphasize on the construction of A . Using a reconstruction example, we provide formulas of length and index of the intersection of a line and a fixed grid in three-dimensional space. Finally, we try to verify the formulas with MATLAB programming.

Keywords

Digital Image Reconstruction, X-Ray CT, Grid in 3D, Index

直线与三维固定网格的交线长度与索引公式计算

张晓媛, 王彩芳, 殷绪导, 徐兆亮

上海海事大学文理学院, 上海
Email: cfwang@shmtu.edu.cn

收稿日期: 2017年6月23日; 录用日期: 2017年7月15日; 发布日期: 2017年7月18日

摘要

本文首先介绍了数字图像重建中最典型的计算机断层成像技术(X-ray Computerized Tomography)的成像原理, 并考虑将重建问题转化成线性方程组 $Ax = b$ 的求解, 重点讨论了系数矩阵 A 的生成。以三维实

际重建问题为例, 本文给出了计算直线与三维固定网格的交线长度与索引公式。最后利用MATLAB实现这一计算过程, 并分析算法运行的效率。

关键词

数字图像重建, X-Ray CT, 三维固定网格, 索引

Copyright © 2017 by authors and Hans Publishers Inc.

This work is licensed under the Creative Commons Attribution International License (CC BY).

<http://creativecommons.org/licenses/by/4.0/>



Open Access

1. 引言

数字图像重建是指根据物体边界测量数据, 获取物体内部结构的一种方法[1]。常见的成像技术有全息成像, 电子显微, 数码相机, 核磁共振, 超声波, 计算机断层扫描成像技术等等。图像重建最典型的应用是医学上的计算机断层扫描成像技术[2], 这是一种电子计算机技术与X射线检查技术相结合的产物, 因其扫描时间快, 图像清晰等特点, 在成像领域有着非常重要的作用。

X射线在物体内部沿直线 L 传播, 衰减满足Beer定理[3]

$$I = I_0 * \exp\left\{-\int_L \mu(x, y, z) dl\right\},$$

其中 $\mu(x, y, z)$ 为物体对X射线的衰减系数, I_0 为入射光强度, I 为出射光强度。X-Ray CT利用这一原理, 获取多组入射光强 $I_{0,i}$ 和出射光强度 I_i , 得到一系列的投影数据 $b_i = \ln(I_{0,i}/I_i)$, 并根据投影数据值重建物体内部的吸收系数 $\mu(x, y, z)$ 。

常见的X-Ray CT重建算法有迭代算法[4], 分析算法(滤波反投影[5], 反投影滤波[6])等。随着计算机技术的高速发展, 迭代重建算法因其利用计算机运算速度快, 适合做重复性操作的特点被人们更广泛地应用在图像重建中。迭代算法首先涉及到问题的离散化, 以三维图像为例, 当待测物体所在的区域被离散成三维固定网格后(共 J 个像素), 如图1所示, 假设物体在离散后每个格点上的吸收系数是一个常数 x_j , 沿着第 i 条射线上的投影值 b_i , 可表示成 $b_i = \sum_{j=1}^J a_{ij} x_j$, 其中 a_{ij} 为第 i 条射线与第 j 个像素的交线长度, 这样就将重建问题转化成 $Ax = b$ 的求解[7][8]。我们的任务是确定矩阵 A 的第 i 个行向量中的非零元以及非零元所在列的索引。

作者吴大瑞, 何钦铭在[9]中给出了计算直线与二维固定网格交线长度的算法, 我们将这一算法进行推广, 给出了计算直线与三维固定网格的交线长度的算法。此外, 我们也给出了直线与三维固定网格的交线索引的公式。最后我们通过MATLAB实现这一算法[10][11], 并用两组数值实验分别验证了算法的正确性和有效性。

2. 计算直线与网格的交线长度及索引位置

2.1. 空间坐标系的建立及图像的离散化

为后续描述方便, 我们首先定义物体的参数(见表1)。

- 1) 假设待测物体处于一个长、宽、高分别为 l_x , l_y , l_z 的矩形区域内。以矩形的中心为原点建立空间直角坐标系, 对矩形区域进行离散化后得每个格点的长、宽、高分别为 $xUnit = l_x/xRes$, $yUnit = l_y/yRes$, $zUnit = l_z/zRes$ 。

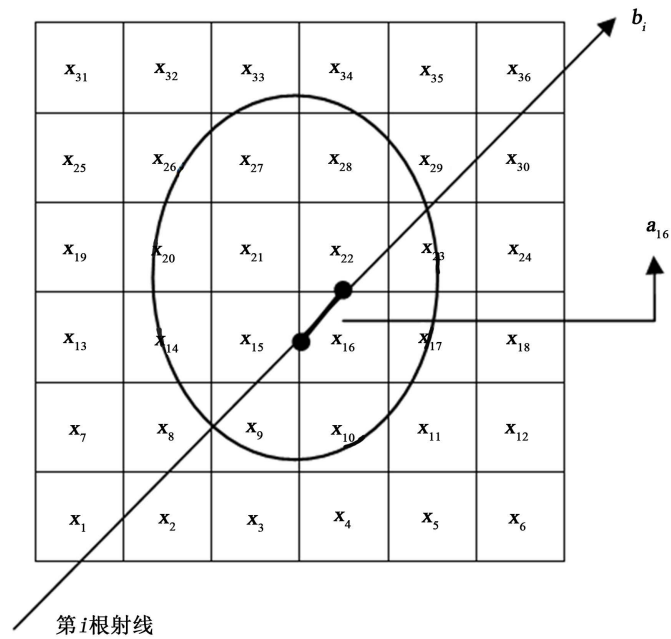


Figure 1. Discretization of the object to be imaged
图 1. 待测物体离散化

Table 1. Parameters of the object to be imaged
表 1. 待测物体参数

变量	意义
l_x	待测物体的长
l_y	待测物体的宽
l_z	待测物体的高
$xRes$	待测物体 x 方向上的分辨率, 文中为偶数
$yRes$	待测物体 y 方向上的分辨率, 文中为偶数
$zRes$	待测物体 z 方向上的分辨率, 文中为偶数

- 2) 我们将网格中格点依 z 轴依次从下往上逐层标号, 以最底层格点为例对网格进行标号, 从数字 1 开始, 按图 2 的方法, 直到标完对应的格点数 $xRes * yRes$; 按同样的方法在矩形区域内向上一层对格点进行标号, 依次向上标, 直到标完对应的格点数 $xRes * yRes * zRes$, 以此完成对矩形区域的离散化。

2.2. 第 i 根射线所在位置描述

假设第 i 根射线是由第 i 个光源 $(xSource, ySource, zSource)$ 及探测器 $(xDetector, yDetector, zDetector)$ 所确定, 则该直线所在的空间直线参数方程可表示为(t 为参数)

$$\begin{cases} x = xSource + mt, \\ y = ySource + nt, \\ z = zSource + pt. \end{cases}$$

(yRes-1) *xRes+1	(yRes-1) *xRes+2	xRes*yRes
.....
xRes+1	xRes+2	2*xRes
1	2	xRes

Figure 2. Label of grid on *xoy* plane
图 2. *xoy* 平面网格标号

其中 (m, n, p) 为直线的方向向量, 可以根据确定的光源和探测器位置的坐标确定 $m = x_{Detector} - x_{Source}$, $n = y_{Detector} - y_{Source}$, $p = z_{Detector} - z_{Source}$ 。为后续描述方便, 需保证 m, n, p 按序大于 0, 若出现以下情况之一: (1) $m < 0$, (2) $m = 0, n < 0$, (3) $m = 0, n = 0, p < 0$, 则令 $(m, n, p) = -(m, n, p)$ 即可。

2.3. 直线与网格交线的长度与索引公式

1) 为确定直线与网格的交线长度, 我们首先给出直线与网格的交点。设光源探测器直线与 $x = -l_x/2 + xUnit * (k - 1)$ 平面的交点分别为 (x_k^1, y_k^1, z_k^1) ($k = 1, 2, \dots, xRes + 1$)。根据条件

$$\begin{cases} y_k^1 > yRes/2 * yUnit, & z_k^1 > zRes/2 * zUnit, \\ y_k^1 < -yRes/2 * yUnit, & z_k^1 < -zRes/2 * zUnit. \end{cases}$$

删除越界的点, 得到直线与 x 轴网格线相交 K_1 组的坐标, 仍然记为 (x_k^1, y_k^1, z_k^1) 。同理, 可获得直线与 y 轴网格线相交的 K_2 组有效坐标值, 为 (x_k^2, y_k^2, z_k^2) , 与 z 轴网格线相交的 K_3 组有效坐标值, 为 (x_k^3, y_k^3, z_k^3) 。

将三组数据按照 x 坐标从小到大进行重排, 若 $m = 0$, 则按 y 从小到大重排, 若 $m = 0$ 且 $n = 0$, 则按 z 从小到大重排。得到一系列不重复交点, 记为 (x_t, y_t, z_t) ($t = 1, 2, \dots, K$)。则该直线与网格的交线长度可表示为

$$a_{ij} = \sqrt{(x_{t+1} - x_t)^2 + (y_{t+1} - y_t)^2 + (z_{t+1} - z_t)^2}. \quad (1)$$

2) 为计算直线与网格交线的索引, 可以根据交线起点 (x_t, y_t, z_t) 找到该格点中 x, y, z 坐标最小的顶点, 并由此顶点推断索引值 j 。具体的实现中, 首先令

$$P_x = \text{floor}\left(\frac{x_t}{xUnit}\right), \quad P_y = \text{floor}\left(\frac{y_t}{yUnit}\right), \quad P_z = \text{floor}\left(\frac{z_t}{zUnit}\right).$$

- 若 $n < 0$, 且 $P_y * yUnit = y_t$, 则修正 $P_y = P_y - 1$;
- 若 $p < 0$, 且 $P_z * zUnit = z_t$, 则修正 $P_z = P_z - 1$ 。

图 3 为几种特殊的相交情况, 以此说明上述修正。

最后令

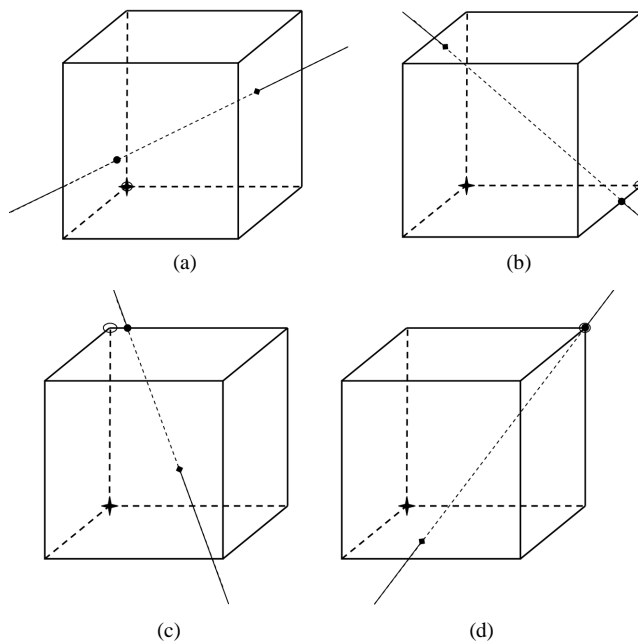


Figure 3. Special cases of intersection of a line and fixed grid. Solid circle: starting point (x_i, y_i, z_i) ; Rhombus: end point $(x_{i+1}, y_{i+1}, z_{i+1})$; Hollow circle: point before correction $(P_x * xUnit, P_y * yUnit, P_z * zUnit)$; Star: corrected point $(P_x * xUnit, P_y * yUnit, P_z * zUnit)$. (a) $m > 0, n > 0, p > 0$; (b) $m > 0, n < 0$ and $P_y * yUnit = y_i$; (c) $m > 0, n > 0, p < 0$ and $P_z * zUnit = z_i$; (d) $m > 0, n < 0$ and $P_y * yUnit = y_i, p < 0$ and $P_z * zUnit = z_i$

图 3. 几种特殊的直线与网格相交情况。实心圆：起点 (x_i, y_i, z_i) ；菱形：终点 $(x_{i+1}, y_{i+1}, z_{i+1})$ ；空心圆：修正前的点 $(P_x * xUnit, P_y * yUnit, P_z * zUnit)$ ；星形：修正后的点 $(P_x * xUnit, P_y * yUnit, P_z * zUnit)$ 。(a) $m > 0, n > 0, p > 0$ ；(b) $m > 0, n < 0$ 且 $P_y * yUnit = y_i$ ；(c) $m > 0, n > 0, p < 0$ 且 $P_z * zUnit = z_i$ ；(d) $m > 0, n < 0$ 且 $P_y * yUnit = y_i, p < 0$ 且 $P_z * zUnit = z_i$

$$\begin{aligned} P_x &= P_x + xRes/2, \\ P_y &= P_y + yRes/2, \\ P_z &= P_z + zRes/2. \end{aligned}$$

根据修正后的 (P_x, P_y, P_z) ，可得交线所在格点的索引公式为

$$j = (P_x + 1) + P_y * xRes + P_z * xRes * yRes. \tag{2}$$

3. 数值实验

为验证算法的有效性和正确性，我们进行如下两组数值实验。算法在一台 Dell 电脑上完成，操作系统为 Windows 7 旗舰版(64 位)，处理器：Intel(R) Core(TM) i7-4790, CPU@3.60 GHz, RAM:8 GB。采用 Matlab R_2013a 版本。

3.1. 算法正确性验证

设 $xRes = 4, yRes = 4, zRes = 4, l_x = 4, l_y = 4, l_z = 4$ 。分别取如下 4 组光源和探测器。经程序计算得到结果如表 2 所示。此外，我们对不同光源和探测器情况作了手动计算，经过比较，我们确定两者一致，算法的正确性得到验证。

Table 2. Correctness verification for the numerical method
表 2. 程序正确性检测结果

编号	光源与探测器	a_{ij} 与 $index$
(1)	(6,4,1)	$(a_{ij}) = [0.6481, 0.9721, 0.3240, 1.2961, 1.2961]$
	(-4,-4,-1)	$index = [17, 18, 22, 23, 44]$
(2)	(6,-4,1)	$(a_{ij}) = [0.6481, 0.9721, 0.3240, 1.2961, 1.2961]$
	(-4,4,-1)	$index = [29, 30, 26, 27, 40]$
(3)	(6,4,-1)	$(a_{ij}) = [0.6481, 0.9721, 0.3240, 1.2961, 1.2961]$
	(-4,-4,1)	$index = [33, 34, 38, 39, 28]$
(4)	(6,-4,-1)	$(a_{ij}) = [0.6481, 0.9721, 0.3240, 1.2961, 1.2961]$
	(-4,4,1)	$index = [45, 46, 42, 43, 24]$

3.2. 算法运行效率

我们模拟现实的光源和探测器分布情况，假设待测物体参数设置为

$$l_x = l_y = l_z = 20 \text{ cm}$$

$$xRes = yRes = zRes = 256.$$

光源和探测平面同时绕待测物体螺旋上升。具体参数见表 3。

初始状态下光源位置设为 $(x^{(1)}, y^{(1)}, z^{(1)}) = (d, 0, Z_0)$ 。与之对应的探测器平面如图 4 所示。

光源和探测器平面同时绕 z 轴旋转，第 k 个光源转过角度为

$$\theta = \alpha(k-1), \quad k = 1, 2, \dots.$$

光源位置为 $(x^{(k)}, y^{(k)}, z^{(k)})$

$$\begin{bmatrix} x^{(k)} \\ y^{(k)} \end{bmatrix} = \begin{bmatrix} \cos \theta & -\sin \theta \\ \sin \theta & \cos \theta \end{bmatrix} \begin{bmatrix} x^{(1)} \\ y^{(1)} \end{bmatrix},$$

$$z^{(k)} = z^{(1)} + \frac{\theta}{2\pi} h.$$

与之相对应的探测器上各点坐标为 $(X_{ij}^{(k)}, Y_{ij}^{(k)}, Z_{ij}^{(k)})$

$$\begin{bmatrix} X_{ij}^{(k)} \\ Y_{ij}^{(k)} \end{bmatrix} = \begin{bmatrix} \cos \theta & -\sin \theta \\ \sin \theta & \cos \theta \end{bmatrix} \begin{bmatrix} X_{ij}^{(1)} \\ Y_{ij}^{(1)} \end{bmatrix},$$

$$Z_{ij}^{(k)} = Z_{ij}^{(1)} + \frac{\theta}{2\pi} h.$$

由于系数矩阵是一个大型稀疏矩阵，在实际的迭代过程中，如果将 A 存入内存，是一个耗空间的做法；如果每次迭代都从外设读取数据，也是一个耗时的做法。因此我们考虑在每步迭代中，都计算一次系数矩阵。模拟实际情况，我们假设共采集 2.7×10^5 次数据，形成 2.7×10^5 组交线长度和索引标号。

.....
Detector _{ij} ⁽ⁱ⁾	Detector _j ⁽ⁱ⁾
.....
Detector _{i1} ⁽ⁱ⁾	Detector _{i1} ⁽ⁱ⁾

Figure 4. Label of detector
图 4. 平面探测器编号

Table 3. Parameters for sources and detectors
表 3. 光源、探测器参数

变量	意义	数据
d	光源到待测物体中心轴的距离	60 cm
D	探测平面中心到待测物体中心轴的距离	40 cm
Lx	平板探测器长度	40 cm
Ly	平板探测器高度	40 cm
$XRes$	平板探测器水平方向分辨率(偶数)	50
$YRes$	平板探测器垂直方向分辨率(偶数)	50
α	采集数据的旋转角(弧度)	$\pi/18$
h	螺距	10 cm

采用上述程序，在 MATLAB 下运行，实际代码执行的时间为 597.7133 秒。由此，我们也可以大体估计每次迭代所用时间。根据数值实验的结果，我们发现运行效率可以接受。

4. 总结

本文以 X-ray CT 为例，研究重建问题中系数矩阵的生成方式，将系数矩阵元素和直线与三维固定网格相交联系起来，研究了直线与三维固定网格的交线长度与索引。最后用 MATLAB 程序语言实现了这一算法，并将算法应用到三维重建的系数矩阵生成上，完成一次矩阵的计算时间在 10 分钟以内。运算效率是可行的。

基金项目

国家自然科学基金青年基金项目(11401372)。

参考文献 (References)

- [1] 冈萨雷斯. 数字图像处理[M]. 北京: 北京电子工业出版社, 2009.
- [2] 曾晖, 孙腊珍, 汪晓莲. CT 计算机断层扫描成像实验[J]. 物理实验, 2008, 28(12): 9-12.
- [3] 庄天戈. CT 原理与算法[M]. 上海: 上海交通大学出版社, 1992.
- [4] 潘晋孝. X 射线 CT 迭代算法研究[M]. 北京: 北京大学数学科学学院, 2006.
- [5] 张顺利, 李卫斌, 唐高峰. 滤波反投影图像重建算法研究[J]. 咸阳师范学院学报, 2008, 23(4): 47-49.
- [6] 洪贤勇, 乔志伟. 用反投影滤波算法实现 CT 图像的 ROI 重建[J]. 电视技术, 2014, 38(7): 29-32.

-
- [7] 陈洪磊, 贺建峰, 刘俊卿, 马磊. 迭代图像重建中系统矩阵与重建图像质量关系研究[J]. 计算机应用, 2013, 33(1): 53-56, 68.
- [8] 王亮, 寿永熙, 秦俊平. 图像重建迭代算法的研究[J]. 黑龙江科技信息, 2007(21): 72-72.
- [9] 吴大瑞, 何钦铭. 一种简单的基于固定网格的空间直线索引算法[J]. 江南大学学报(自然科学版), 2005, 4(4): 394-396.
- [10] 张振东, 哈力旦·A. 基于 MATLAB 的 CT 的图像三维重建的研究与实现[J]. 电子世界, 2013(3): 87-88.
- [11] 曾笋, 董芳华, 陈晓, 周宏, 周建中. 利用 MATLAB 实现 CT 断层图像的三维重建[J]. CT 理论与应用研究, 2004, 13(2): 24-29.

期刊投稿者将享受如下服务:

1. 投稿前咨询服务 (QQ、微信、邮箱皆可)
2. 为您匹配最合适的期刊
3. 24 小时以内解答您的所有疑问
4. 友好的在线投稿界面
5. 专业的同行评审
6. 知网检索
7. 全网络覆盖式推广您的研究

投稿请点击: <http://www.hanspub.org/Submission.aspx>

期刊邮箱: aam@hanspub.org